

川田工業 正員 輿石 繁
 " " 川端 香夫
 " " 小神野 竹男

立体構造物は二、三の論文が発表されているが、その計算が複雑なため数値計算による、それらの性状についてはあまり研究が進んでいないようである。今回任意形状の立体構造物を計算するためのプログラムが完成したので、この機会に 図-1, 図-2 のタイプについて、二、三の条件下における数値計算を行い、立体構造物と平面構造物との関連性について検討したので、その結果を報告する。

計算式

$$[\alpha \cdot K \cdot \alpha] \cdot (\eta) = (P - \alpha \cdot C \cdot Q_{fa} - \beta \cdot C \cdot Q_{fb}) \quad \dots \dots \dots (1)$$

$$(Q_a) = [X' \cdot K \cdot \alpha] \cdot (\eta) + (Q_{fa}) \quad \dots \dots \dots (2)$$

(1) 式より各節点の変位 (η) を求め、これを (2) 式に代入すると各部材の断面力 (Q_a) が求まる。上式中 $[\alpha]$, $[K]$, $[X']$ の各要素は次の如くである。

$$(\alpha) = \begin{bmatrix} \delta_x \cdot C_{xv}, & \delta_x \cdot C_{xw}, & 0 & 0 & -\delta_x^2 L C_{xw}, & 0 \\ \delta_y \cdot C_{yv}, & \delta_y \cdot C_{yw}, & 0 & 0 & -\delta_y^2 L C_{yw}, & 0 \\ \delta_z \cdot C_{zv}, & \delta_z \cdot C_{zw}, & 0 & 0 & -\delta_z^2 L C_{zw}, & 0 \\ 0 & M_x \frac{L}{2} C_{xw}, & \delta_x' \cdot C_{xw}, & \delta_x' \cdot C_{xv}, & M_x' C_{xv}, & \delta_x' \cdot C_{xv} \\ 0 & M_y \frac{L}{2} C_{yw}, & \delta_y' \cdot C_{yw}, & \delta_y' \cdot C_{yv}, & M_y' C_{yv}, & \delta_y' \cdot C_{yv} \\ 0 & M_z \frac{L}{2} C_{zw}, & \delta_z' \cdot C_{zw}, & \delta_z' \cdot C_{zv}, & M_z' C_{zv}, & \delta_z' \cdot C_{zv} \end{bmatrix} \quad [K] = \begin{bmatrix} \frac{EI}{L} & & & & & \\ & 12 \frac{EI}{L^2} & & & & \\ & & \frac{EI}{L} & & & \\ & & & \frac{GJ}{L} & & \\ & & & & 3 \frac{EI}{L} & \\ & & & & & 4 \frac{EI}{L^3} \end{bmatrix}$$

又、(1) 式の右辺をくわしく書くと

$$\begin{pmatrix} P_x \\ P_y \\ P_z \\ \eta_x \\ \eta_y \\ \eta_z \end{pmatrix} = \begin{pmatrix} \delta_x - \alpha \sum C_{xj} \cdot Q_{fai} - \beta \sum C_{xj} \cdot Q_{fib} \\ \delta_y - \alpha \sum C_{yj} \cdot Q_{faj} - \beta \sum C_{yj} \cdot Q_{fib} \\ \delta_z - \alpha \sum C_{zj} \cdot Q_{faj} - \beta \sum C_{zj} \cdot Q_{fib} \\ m_x - \alpha \sum C_{xj} \cdot M_{fai} - \beta \sum C_{xj} \cdot M_{fib} \\ m_y - \alpha \sum C_{yj} \cdot M_{faj} - \beta \sum C_{yj} \cdot M_{fib} \\ m_z - \alpha \sum C_{zj} \cdot M_{faj} - \beta \sum C_{zj} \cdot M_{fib} \end{pmatrix} \quad [X'] = \begin{bmatrix} E & 0 & 0 & 0 & 0 & 0 \\ 0 & E & 0 & 0 & 0 & 0 \\ 0 & 0 & 0 & 0 & \frac{E}{L} & 0 \\ 0 & 0 & 0 & E & 0 & 0 \\ 0 & 0 & E & 0 & E & 0 \\ 0 & \frac{1}{L} & 0 & 0 & 0 & \frac{E}{L} \end{bmatrix}$$

であり、同様に (2) 式を整理すると次の如く書く事が出来る。

$$\begin{pmatrix} Q_{au} \\ Q_{av} \\ Q_{aw} \\ M_{au} \\ M_{av} \\ M_{aw} \end{pmatrix} = \begin{pmatrix} \frac{EI}{L} (\sum C_{xu} \cdot \bar{\alpha} \cdot \eta_i - \sum C_{xw} \bar{\beta} \cdot \eta_i) + Q_{tau} \\ 12 \frac{EI}{L^3} (\sum C_{xv} \cdot \bar{\alpha} \cdot \eta_i - \sum C_{xw} \bar{\beta} \cdot \eta_i) + 6 \frac{EI}{L} (\sum C_{xw} \bar{\alpha} \cdot \theta_i + \sum C_{xv} \bar{\beta} \cdot \theta_i) + Q_{tar} \\ 12 \frac{EI}{L^3} (\sum C_{yw} \cdot \bar{\alpha}' \cdot \eta_i - \sum C_{zw} \bar{\beta}' \cdot \eta_i) - 6 \frac{EI}{L} (\sum C_{yw} \bar{\alpha}' \cdot \theta_i + \sum C_{zw} \bar{\beta}' \cdot \theta_i) + Q_{tar} \\ \frac{GJ}{L} (\sum C_{xu} \cdot \bar{\alpha}' \cdot \theta_i - \sum C_{xw} \bar{\beta}' \cdot \theta_i) + M_{tau} \\ -6 \frac{EI}{L} (\sum C_{xw} \cdot \bar{\alpha}' \cdot \eta_i - \sum C_{xv} \bar{\beta}' \cdot \eta_i) + \frac{EI}{L} (4 \sum C_{xv} \bar{\alpha}' \cdot \theta_i + 2 \sum C_{xw} \bar{\beta}' \cdot \theta_i) + M_{tar} \\ 6 \frac{EI}{L} (\sum C_{yw} \cdot \bar{\alpha}' \cdot \eta_i - \sum C_{zw} \bar{\beta}' \cdot \eta_i) + \frac{EI}{L} (4 \sum C_{zw} \bar{\alpha}' \cdot \theta_i + 2 \sum C_{yw} \bar{\beta}' \cdot \theta_i) + M_{tar} \end{pmatrix}$$

$$\text{ただし } \sum C_{ij} \cdot Q_{fij} = C_{xu} \cdot Q_{fau} + C_{xv} \cdot Q_{fav} + C_{xw} \cdot Q_{faw}$$

$$\sum C_{ij} \cdot \bar{\alpha} \cdot \eta_i = C_{xu} \cdot \bar{\alpha} \cdot \eta_x + C_{yu} \cdot \bar{\alpha} \cdot \eta_y + C_{zu} \cdot \bar{\alpha} \cdot \eta_z$$

C_{ij} ----- 方向余弦 E ----- 単位行列

α, β --- 形状行列 (子部材の a 端又は b 端が i 節点と結合しているときだけ入る元素のみとなり、そろじないときは 0 となる行列)

Q_{fa}, Q_{fb} 等は載荷部材の固定端断面力

上記の計算式を FORTRAN でプログラムした。これを用いて次に示す図-1, 2 に示す構造物について立体計算を行って見た。

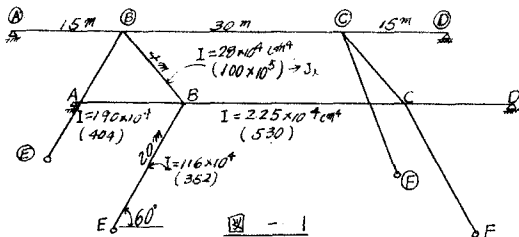


図-1

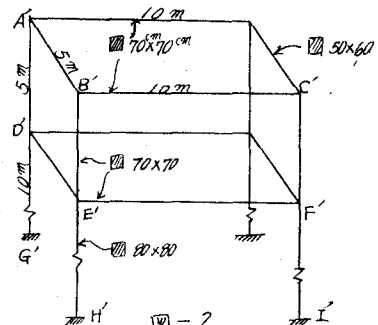
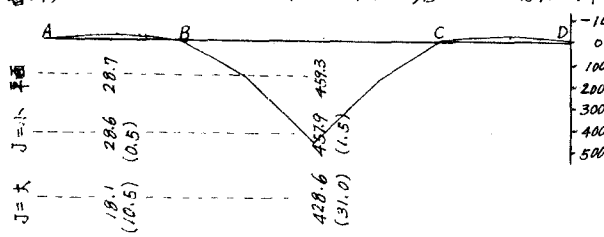
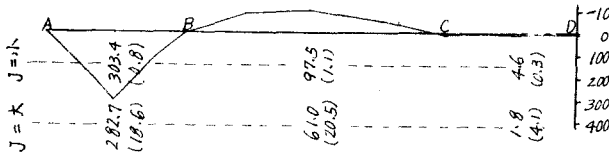


図-2

ただし 図-1, 2 の () の数字はねじり剛性を表す。
BC 部材の中央点に着目した場合の曲げモーメントの影響線, () の数字は④⑤部材の中央に着目した場合の M-INF



AB 部材の中央に着目した場合の M-INF, () は
④⑤部材の中央に着目した場合の M-INF



M-INF に見られる如く、立体構造物としての解と平面構造物としての解との差は横材のねじり剛性 (Jθ) に關係する事であるが、(Jθ) が主材の (J/L) に比べて大きい場合には立体構造物として解のないとなりの誤差を生ずるものと思われる。計算結果についての詳細は当日報告する。

なお、本文で使用した計算方式は原理的には IBM 社で開発した FRAN と同じものであるが、行列要素の列え方や、節点のつなぎ方等細部においてことなっている。最後に、種々の御指導をいただいた、法政大学大地羊三教授に謹んで謝意を表します。

参考文献： 大地 羊三著 “行列による滑組構造物の解法” 土木学会論文集 87 号

